

Ultimo aggiornamento delle informazioni: Novembre 2024

Configurazione di prodotto: QY31.12+QX58.01

QY31.12: Modulo LED - L 2384 - 78° - emissione up (40%) and down (60%) - high output - neutral white - alimentazione dimmerabile DALI integrata - Alluminio

QX58.01: IN60 MMO - Modulo Up and Down - Minimal - L= 2384 - 4000K - CRI 80 - Bianco

**Codice prodotto**

QY31.12: Modulo LED - L 2384 - 78° - emissione up (40%) and down (60%) - high output - neutral white - alimentazione dimmerabile DALI integrata - Alluminio

Descrizione tecnica

Modulo LED predisposto per alloggiamento nei profili del sistema IN60 MMO ad emissione up (40%) and down (60%). Il raster in termoplastico metallizzato. L'apparecchio genera un'emissione down a luminanza controllata $L \leq 3000 \text{ cd/mq} - \alpha > 65^\circ$, conforme alla norma EN 12464-1, per impiego in ambienti con uso di videoterminali. La versione è High Output. Fornito con gruppo di alimentazione elettronico dimmerabile DALI. LED neutral white (4000K), CRI80.

Installazione

Inserimento del modulo sui vani con sistema meccanico easy-push (molle a scatto in acciaio).

Colore

Alluminio (12)

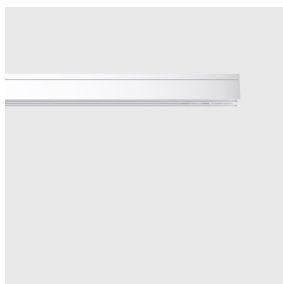
Peso (Kg)

1.9

Cablaggio

Collegamento con morsettiere ad innesto rapido in entrata. Modulo LED completo di alimentazione DALI integrata. I cavi elettrici impiegati sono realizzati in materiale "halogen free" (non contengono materiali alogeni - in caso di incendio non emettono gas tossici e corrosivi emettendo una bassa quantità di fumi opachi).

Soddisfa EN60598-1 e relative note

**Codice prodotto**

QX58.01: IN60 MMO - Modulo Up and Down - Minimal - L= 2384 - 4000K - CRI 80 - Bianco

Descrizione tecnica

Profilo in estruso di alluminio L= 2384 del sistema IN60 MMO da aggregare con articolo raster specifico per emissione up/down. Il raster può essere scelto tra due potenze diverse low output e high output. Per conoscere i dati del flusso luminoso fare riferimento al codice raster selezionato considerando che la ripartizione è 40% up e 60% down. Questa è la versione minimal per emissione up (4000K e CRI80) e down. Il prodotto è utilizzabile per applicazioni a sospensione; sia nella versione stand alone sia quando il prodotto è utilizzato in file continue.

Installazione

Applicabile a sospensione tramite appositi accessori da ordinare separatamente. I moduli vanno completati con testate di chiusura e raster con LED ordinabili separatamente.

Colore

Bianco (01)

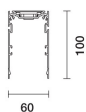
Peso (Kg)

4

Montaggio

incasso a soffitto|a parete|sospeso a soffitto

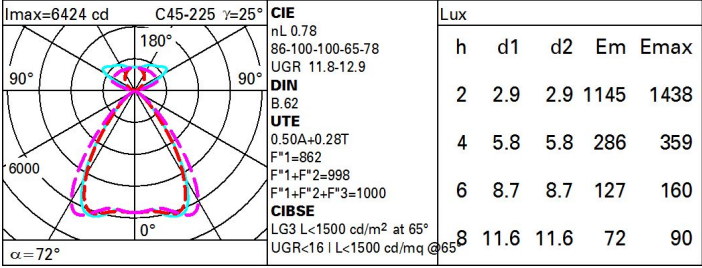
Soddisfa EN60598-1 e relative note

**Dati tecnici**

| | |
|--|-------|
| Im di sistema: | 13689 |
| W di sistema: | 82 |
| Im di sorgente: | 17550 |
| W di sorgente: | 82 |
| Efficienza luminosa (lm/W, dati di sistema): | 166.9 |
| Im in modalità emergenza: | - |
| Flusso totale emesso a 90° o superiore [Lm]: | 4851 |
| Light Output Ratio (L.O.R.) [%]: | 78 |
| CRI (minimo): | 80 |
| Temperatura colore [K]: | 4000 |
| MacAdam Step: | 3 |

| | |
|--|---|
| Codice lampada: | LED |
| Numero di lampade per vano ottico: | 1 |
| Codice ZVEL: | LED |
| Numero di vani ottici: | 1 |
| Power factor: | Vedi istruzioni di installazione |
| Corrente di spunto (in-rush): | 53 A / 200 µs |
| Massimo numero di apparecchi collegabili a ogni interruttore automatico: | B10A: 8 apparecchi B16A: 13 apparecchi C10A: 13 apparecchi C16A: 22 apparecchi |
| % minima di dimmerazione: | 1 |
| Protezione alle sovratensioni: | 2kV Modo comune e 1kV Modo differenziale |
| Control: | DALI-2 |

Polare



Coefficienti di utilizzazione

| R | 77 | 75 | 73 | 71 | 55 | 53 | 33 | 00 | DRR |
|------|----|----|----|----|----|----|----|----|-----|
| K0.8 | 54 | 49 | 45 | 42 | 45 | 42 | 40 | 34 | 68 |
| 1.0 | 58 | 53 | 50 | 47 | 49 | 47 | 43 | 37 | 74 |
| 1.5 | 64 | 60 | 57 | 54 | 55 | 53 | 49 | 42 | 83 |
| 2.0 | 67 | 64 | 61 | 59 | 58 | 56 | 52 | 44 | 88 |
| 2.5 | 69 | 66 | 64 | 62 | 60 | 59 | 54 | 46 | 92 |
| 3.0 | 70 | 68 | 66 | 65 | 62 | 61 | 55 | 47 | 94 |
| 4.0 | 71 | 70 | 68 | 67 | 63 | 62 | 57 | 48 | 96 |
| 5.0 | 72 | 71 | 70 | 69 | 64 | 63 | 58 | 49 | 97 |

Curva limite di luminanza

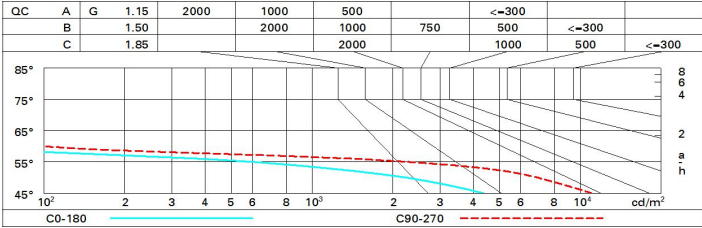


Diagramma UGR

| Corrected UGR values (at 17550 lm bare lamp luminous flux) | | | | | | | | | | | | |
|--|-----|---------------------|-------------|------|-------------|------|-------------------|------|------|------|------|------|
| Reflect.: ceiling/cav walls work pl. Room dim x y | | 0.70 | 0.70 | 0.50 | 0.50 | 0.30 | 0.70 | 0.70 | 0.50 | 0.50 | 0.30 | 0.30 |
| | | 0.50 | 0.30 | 0.50 | 0.30 | 0.30 | 0.50 | 0.30 | 0.50 | 0.30 | 0.30 | 0.30 |
| | | 0.20 | 0.20 | 0.20 | 0.20 | 0.20 | 0.20 | 0.20 | 0.20 | 0.20 | 0.20 | 0.20 |
| | | viewed crosswise | | | | | viewed endwise | | | | | |
| 2H | 2H | 12.7 | 13.2 | 13.4 | 13.9 | 14.8 | 13.8 | 14.3 | 14.5 | 15.0 | 15.9 | |
| | 3H | 12.4 | 12.9 | 13.2 | 13.7 | 14.6 | 13.6 | 14.1 | 14.4 | 14.8 | 15.7 | |
| | 4H | 12.3 | 12.8 | 13.1 | 13.5 | 14.5 | 13.5 | 13.9 | 14.3 | 14.7 | 15.6 | |
| | 6H | 12.2 | 12.6 | 13.0 | 13.4 | 14.4 | 13.4 | 13.7 | 14.2 | 14.5 | 15.5 | |
| | 8H | 12.2 | 12.5 | 13.0 | 13.3 | 14.3 | 13.3 | 13.7 | 14.1 | 14.5 | 15.5 | |
| | 12H | 12.1 | 12.5 | 12.9 | 13.3 | 14.3 | 13.2 | 13.6 | 14.1 | 14.4 | 15.4 | |
| 4H | 2H | 12.4 | 12.8 | 13.2 | 13.6 | 14.5 | 13.5 | 13.9 | 14.3 | 14.7 | 15.6 | |
| | 3H | 12.1 | 12.5 | 13.0 | 13.3 | 14.3 | 13.2 | 13.6 | 14.1 | 14.4 | 15.4 | |
| | 4H | 12.0 | 12.3 | 12.8 | 13.1 | 14.2 | 13.1 | 13.4 | 14.0 | 14.3 | 15.3 | |
| | 6H | 11.9 | 12.1 | 12.7 | 13.0 | 14.0 | 13.0 | 13.3 | 13.9 | 14.1 | 15.2 | |
| | 8H | 11.8 | 12.0 | 12.7 | 12.9 | 14.0 | 12.9 | 13.2 | 13.8 | 14.0 | 15.1 | |
| | 12H | 11.7 | 11.9 | 12.6 | 12.8 | 13.9 | 12.8 | 13.1 | 13.7 | 13.9 | 15.0 | |
| 8H | 4H | 11.8 | 12.0 | 12.7 | 12.9 | 14.0 | 12.9 | 13.2 | 13.8 | 14.0 | 15.1 | |
| | 6H | 11.7 | 11.9 | 12.6 | 12.8 | 13.9 | 12.8 | 13.0 | 13.7 | 13.9 | 15.0 | |
| | 8H | 11.6 | 11.8 | 12.5 | 12.7 | 13.8 | 12.7 | 12.9 | 13.6 | 13.8 | 14.9 | |
| | 12H | 11.5 | 11.7 | 12.4 | 12.6 | 13.7 | 12.6 | 12.8 | 13.6 | 13.7 | 14.8 | |
| 12H | 4H | 11.7 | 11.9 | 12.6 | 12.8 | 13.9 | 12.8 | 13.1 | 13.7 | 13.9 | 15.0 | |
| | 6H | 11.6 | 11.8 | 12.5 | 12.7 | 13.8 | 12.7 | 12.9 | 13.6 | 13.8 | 14.9 | |
| | 8H | 11.5 | 11.7 | 12.4 | 12.6 | 13.7 | 12.6 | 12.8 | 13.6 | 13.7 | 14.8 | |
| Variations with the observer position at spacing: | | | | | | | | | | | | |
| S = | | 1.0H | 3.9 / -11.5 | | 3.1 / -9.1 | | | | | | | |
| | | 1.5H | 5.5 / -26.7 | | 5.4 / -27.3 | | | | | | | |
| | | 2.0H | 7.4 / -26.7 | | 7.4 / -27.7 | | | | | | | |